

УДК 547.71.07

## Влияние фазового состава борида молибдена на его катализитические свойства в процессе эпоксидирования октена-1 *трет*-бутилгидропероксидом

*M. В. Никипанчук<sup>1</sup>, З. М. Комаренская<sup>1</sup>, М. О. Жукровская<sup>2</sup>*

<sup>1</sup> Национальный университет «Львовская политехника»  
ул. С. Бандери, 12, Львов 79013, Украина. E-mail: zkomaren@gmail.com

<sup>2</sup> Львовский институт медсестринства и лабораторной медицины им. Андрея Крупинского  
ул. Дорошенка, 70, Львов 79013, Украина

*Показано, что протекание реакции эпоксидирования октена-1 *трет*-бутилгидропероксидом в присутствии Mo<sub>2</sub>B сопровождается образованием на его поверхности аморфной кислородсодержащей фазы. Установлено, что именно образованная фаза катализирует реакцию, определяет ее скорость и селективность.*

**Ключевые слова:** борид молибдена, катализатор, активация, эпоксидирование, октен-1, *трет*-бутилгидропероксид.

Ранее было показано [1—6], что в присутствии боридов молибдена октен-1 и этилаллилэтилакрилат легко эпоксируются *трет*-бутилгидропероксидом с селективностью более 90 %. Катализитическая активность этих боридов во времени увеличивается, и это изменение описывается топокинетическим уравнением Аврами — Ерофеева. В работе [7] на основании закономерностей изменения активности катализатора во времени сделано предположение, что процесс активации катализатора состоит по крайней мере из двух стадий — стадии зародышеобразования и стадии формирования на поверхности новой активной фазы катализатора. В работе [8] на основании результатов рентгенофазового анализа и рентгеновского микроанализа образцов катализатора MoB до и после реакции эпоксидирования октена-1 *трет*-бутилгидропероксидом установлено, что в период активации происходит изменение фазового состава борида молибдена, а также образование новой кислородсодержащей фазы. Эти данные не дают возможности однозначно утверждать, что является причиной изменения активности катализатора и селективности образования эпоксида во времени — изменение его фазового состава или образование на поверхности новой кислородсодержащей фазы.

С целью выяснения этого вопроса в настоящей работе методом рентгенофазового анализа и рент-

геновского микроанализа исследованы состав катализатора Mo<sub>2</sub>B до и после его использования в реакции эпоксидирования октена-1 *трет*-бутилгидропероксидом в толуоле и закономерности изменения его активности и селективности образования эпоксида во времени в условиях реакции таких же, как и в случае с MoB [8].

Октен-1 (Ок) и *трет*-бутилгидропероксид (ГПТБ) получали, очищали и контролировали степень очистки по методикам [7]. Растворитель толуол марки «ч.» дополнительно сушили металлическим натрием и очищали ректификацией.

Реакцию эпоксидирования октена-1 *трет*-бутилгидропероксидом проводили в стеклянном реакторе объемом 25 мл с термостатом для поддержания постоянной температуры, снаженным магнитной мешалкой, обратным холодильником и устройством для отбора проб. Кинетический режим процесса (независимость от скорости вращения мешалки, объема реактора) обеспечивался при скорости вращения мешалки более 900 об/мин. В реактор загружали реагенты и растворитель общим объемом 10 мл, смесь при перемешивании нагревали до реакции и вводили катализатор. Момент ввода катализатора принимали за начало реакции. Пробы реакционной смеси объемом 0,2 мл отбирали через определенные промежутки времени и анализировали их на

Таблица 1

## Кристаллографические характеристики фаз в образцах катализатора

Фаза	Структурный тип	Пространственная группа	Периоды элементарной ячейки, нм			Литература
			<i>a</i>	<i>b</i>	<i>c</i>	
Mo <sub>2</sub> B	CuAl <sub>2</sub>	<i>I4/mcm</i>	0,5543	—	0,4735	[10]
Mo <sub>2</sub> B до реакции			0,5545	—	0,4737	Настоящая работа
Mo <sub>2</sub> B после реакции			0,5543	—	0,4735	Настоящая работа

содержание гидропероксида и эпоксида. Содержание гидропероксида в реакционной смеси определяли методом иодометрического титрования тиосульфатом натрия [9], а содержание эпоксида — хроматографически [1]. Отдельными опытами установлено, что наличие в реакционной смеси гидропероксида и второго продукта реакции — третбутианола не влияет на точность хроматографического определения количества эпоксида. Эпоксид, используемый для изучения его влияния на скорость реакции, выделяли из реакционной среды путем вакуумной перегонки и очищали ректификацией.

Экспериментальное значение селективности образования эпоксида рассчитывали как отношение количества образовавшегося эпоксида, определяемого хроматографически в реакционной смеси, к количеству израсходованного за это же время гидропероксида. Скорости расходования гидропероксида и образования эпоксида определяли методом построения касательных к кинетическим кривым расходования *трет*-бутилгидропероксида и накопления эпоксида.

Катализатор Mo<sub>2</sub>B с удельной поверхностью 0,22 м<sup>2</sup>/г квалификации «ч.» использовали без дополнительной обработки.

Степень активации катализатора ( $\alpha$ ) по ходу реакции рассчитывали по данным изменения скорости расходования гидропероксида [7] из соотношения

$$\alpha = \frac{\frac{w_t}{[\text{ГПТБ}]_t} - \frac{w_0}{[\text{ГПТБ}]_0}}{\frac{w_{\max}}{[\text{ГПТБ}]_{\max}} - \frac{w_0}{[\text{ГПТБ}]_0}},$$

где  $w_0$ ,  $w_t$  и  $w_{\max}$  соответственно начальная, текущая и максимальная скорость расходования гидропероксида;  $[\text{ГПТБ}]_0$ ,  $[\text{ГПТБ}]_t$  и  $[\text{ГПТБ}]_{\max}$  — концентрации гидропероксида соответственно начальная, текущая и в точке максимальной скорости реакции;  $\frac{w_0}{[\text{ГПТБ}]_0}$ ,

$\frac{w_t}{[\text{ГПТБ}]_t}$ ,  $\frac{w_{\max}}{[\text{ГПТБ}]_{\max}}$  — соответственно начальное,

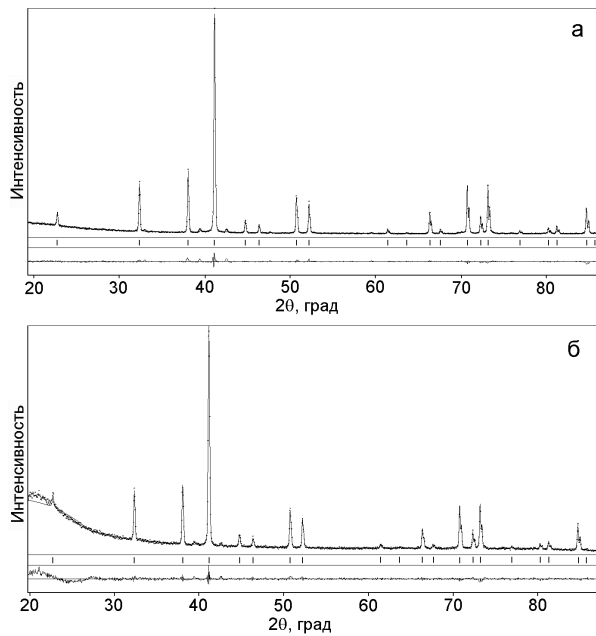


Рис. 1. Рентгеновский фазовый анализ дифрактограмм катализатора до (а) и после (б) реакции.

текущее и максимальное значение приведенной скорости расходования гидропероксида.

Фазовый состав катализатора Mo<sub>2</sub>B до и после реакции определяли рентгеноструктурным методом на дифрактометре ДРОН-2 (Россия), CuK<sub>α</sub>-излучение. Рентгеновский микронализ образца катализатора до и после реакции проводили методом энергодисперсионной рентгеновской спектроскопии (ЭДС) с помощью растрового сканирующего электронного микроскопа-микроанализатора РЭММА-102-02 («Сумы», Украина).

На рис. 1, а, б и в табл. 1 представлены результаты рентгенофазового анализа исходного и отработанного в реакции эпоксидирования образцов борида молибдена — Mo<sub>2</sub>B. Полученные данные свидетельствуют, что как исходный (рис. 1, а), так и отработанный (рис. 1, б) катализатор содержат одни и те же дифракционные пики, соответствующие одной кристаллической фазе Mo<sub>2</sub>B.

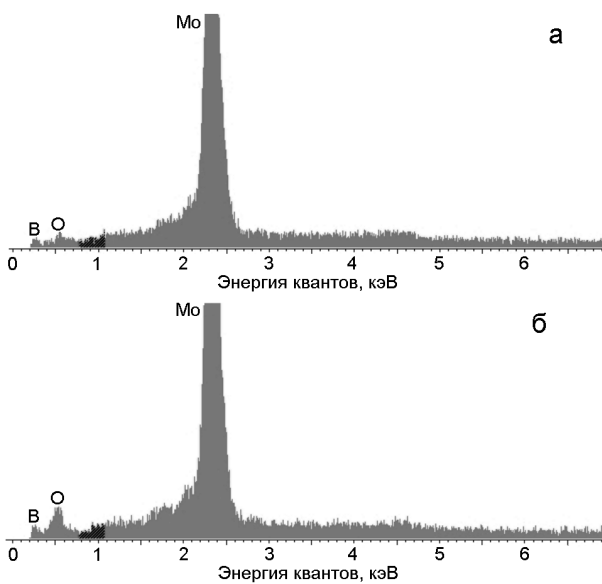


Рис. 2. Результаты рентгеновского микроанализа образца  $\text{Mo}_2\text{B}$  до (a) и после (b) реакции.

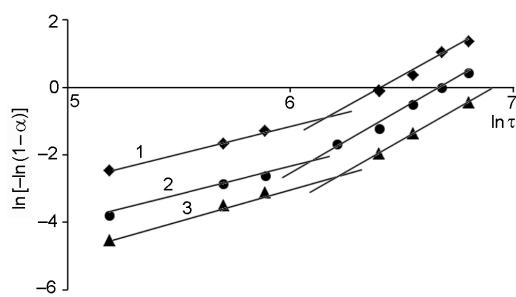


Рис. 3. Графическое решение уравнения Аврами — Ерофеева для реакции расходования ГПТБ в присутствии октена-1 при  $T = 360$  К: 1 —  $[\text{Кат}]_0 = 1$  г/л,  $[\text{ГПТБ}]_0 = 0,5$  моль/л,  $[\text{Ок}]_0 = 2,5$  моль/л,  $[\text{ТБС}]_0 = 0,1$  моль/л; 2 —  $[\text{Кат}]_0 = 1$  г/л,  $[\text{ГПТБ}]_0 = 0,5$  моль/л,  $[\text{Ок}]_0 = 2,5$  моль/л; 3 —  $[\text{Кат}]_0 = 1$  г/л,  $[\text{ГПТБ}]_0 = 0,5$  моль/л,  $[\text{Ок}]_0 = 2,5$  моль/л,  $[\text{EO}]_0 = 0,2$  моль/л.

Кристаллографические характеристики (табл. 1) фазы катализатора до и после реакции совпадают и соответствуют литературным данным [10] для  $\text{Mo}_2\text{B}$ . Однако на дифрактограмме образца катализатора, использованного в реакции эпоксидирования (рис. 1, б), появляется гало, свидетельствующее об образовании аморфной фазы на поверхности катализатора. Следовательно, кристаллическая фаза  $\text{Mo}_2\text{B}$ , в отличие от  $\text{MoB}$  [8], в процессе реакции не претерпевает изменений.

На рис. 2 представлены результаты рентгеновского микроанализа образца  $\text{Mo}_2\text{B}$  до и после реакции. Эти результаты свидетельствуют об изменении количественного элементного состава в поверхностном слое катализатора после его использования в

реакции эпоксидирования. Если в исходном образце катализатора содержание тяжелого элемента (Mo) в поверхностном слое превышает 91 %, то в образце после реакции его содержание уменьшается до 80 %. К сожалению, методом ЭДС определить содержание легких элементов с достаточной точностью невозможно, однако отчетливо видно (рис. 2, б), что после реакции увеличивается пик, соответствующий кислороду с содержанием последнего около 17 %. Вероятно, что образующаяся на поверхности  $\text{Mo}_2\text{B}$  фаза, содержащая молибден и кислород, является аморфной фазой, фиксируемой в виде гало при рентгенофазовом анализе образца  $\text{Mo}_2\text{B}$  после его использования в реакции эпоксидирования. Возможно, эта фаза, как и в случае  $\text{MoB}$  [8], представляет собой перокксосоединения молибдена, которые являются активными катализаторами эпоксидирования олефинов [11—13].

Кинетика расходования ТБГП в присутствии  $\text{Mo}_2\text{B}$ , как и в случае  $\text{MoB}$ , подчиняется закономерностям топохимических реакций, и степень активации катализатора ( $\alpha$ ) описывается топокинетическим уравнением Аврами — Ерофеева  $\alpha = 1 - e^{-k_\tau \tau^n}$ . Это может свидетельствовать о том, что по крайней мере в начале реакции лимитирующей стадией этого процесса является взаимодействие соответствующего борида молибдена с ТБГП и образование на его поверхности активного в реакции эпоксидирования катализатора, а не реакция эпоксидирования олефина.

В случае  $\text{Mo}_2\text{B}$ , как и в присутствии  $\text{MoB}$ , функция  $\ln [-\ln (1 - \alpha)] = \ln k_\tau + n \ln \tau$  имеет два линейных участка с разными значениями топокинетических констант  $n$  и  $k_\tau$  (рис. 3). Независимо от условий процесса (количества катализатора, начальной концентрации октена-1, гидропероксида, третбутианола или эпоксида) значение топокинетической константы  $n$  на первом участке всегда ниже, чем на втором (табл. 2), как это наблюдалось и в случае  $\text{MoB}$  [8]. При этом значение топокинетической константы  $n$  на первом участке в условиях исследования всегда больше единицы, что может указывать на отсутствие диффузионных затруднений этой реакции [14]. Влияние состава реакционной среды (количества  $\text{Mo}_2\text{B}$ , концентрации ГПТБ, продуктов реакции — ТБС и эпоксида) на изменение топокинетических констант  $n$  и  $k_\tau$  (табл. 2) такое же, как и в случае  $\text{MoB}$  [8]. Однако изменение топокинетических констант  $n$  и  $k_\tau$  при увеличении концентрации октена-1 в присутствии  $\text{Mo}_2\text{B}$  отличается от такового в присутствии  $\text{MoB}$ . Если в присутствии  $\text{MoB}$  увеличение концентрации октена-1 приводит к существенному уменьшению значений  $n$  и увеличению  $k_\tau$  как на первом, так и на втором участке, то в присутствии  $\text{Mo}_2\text{B}$  увеличение концентрации олефина приводит к

Таблица 2

Значения топохимических констант для различных условий реакции ( $T = 360$  К)

Соединение	Концентрация, моль/л	$n_1$	$n_2$	$k_{\tau 1}$	$k_{\tau 2}$
[ГПТБ] <sub>0</sub> = 0,5 моль/л, [Ок] <sub>0</sub> = 2,5 моль/л					
Mo <sub>2</sub> B	1	2,040 ± 0,007	4,040 ± 0,008	(2,100 ± 0,009)·10 <sup>-7</sup>	(1,800 ± 0,011)·10 <sup>-12</sup>
	1,5	1,800 ± 0,009	2,670 ± 0,005	(1,340 ± 0,005)·10 <sup>-5</sup>	(5,320 ± 0,005)·10 <sup>-8</sup>
[Кат] <sub>0</sub> = 1 моль/л, [Ок] <sub>0</sub> = 2,5 моль/л					
ГПТБ	0,3	1,720 ± 0,001	4,16 ± 0,005	(6,200 ± 0,009)·10 <sup>-7</sup>	(4,900 ± 0,009)·10 <sup>-13</sup>
	1,0	1,470 ± 0,007	2,780 ± 0,009	(2,690 ± 0,009)·10 <sup>-5</sup>	(2,410 ± 0,012)·10 <sup>-8</sup>
[Кат] <sub>0</sub> = 1 моль/л, [ГПТБ] <sub>0</sub> = 0,5 моль/л					
Октен-1	1,25	1,040 ± 0,001	2,620 ± 0,007	(1,80 ± 0,010)·10 <sup>-5</sup>	(6,190 ± 0,011)·10 <sup>-9</sup>
	3,75	2,220 ± 0,009	4,190 ± 0,001	(1,500 ± 0,009)·10 <sup>-7</sup>	(1,500 ± 0,010)·10 <sup>-12</sup>
[Кат] <sub>0</sub> = 1 моль/л, [ГПТБ] <sub>0</sub> = 0,5 моль/л, [Ок] <sub>0</sub> = 2,5 моль/л					
ТБС	0,1	2,180 ± 0,008	3,450 ± 0,009	(1,230 ± 0,007)·10 <sup>-6</sup>	(1,960 ± 0,009)·10 <sup>-10</sup>
	1,0	2,180 ± 0,009	5,120 ± 0,005	(2,010 ± 0,007)·10 <sup>-7</sup>	(1,230 ± 0,005)·10 <sup>-15</sup>
[Кат] <sub>0</sub> = 1 моль/л, [ГПТБ] <sub>0</sub> = 0,5 моль/л, [Ок] <sub>0</sub> = 2,5 моль/л					
1,2-Эпоксиоктан	0,2	1,640 ± 0,005	6,230 ± 0,008	(4,690 ± 0,005)·10 <sup>-6</sup>	(5,800 ± 0,007)·10 <sup>-13</sup>
	0,5	2,620 ± 0,005	4,330 ± 0,008	(4,120 ± 0,007)·10 <sup>-8</sup>	(4,310 ± 0,007)·10 <sup>-13</sup>

увеличению значений  $n$  на первом участке и практически не влияет на значение этой константы на втором участке. Возможно, что такое влияние концентрации олефина на топокинетические константы  $n$  и  $k_{\tau}$  связано с его меньшим сродством к катализатору на основе Mo<sub>2</sub>B, чем MoB. Об этом свидетельствует наличие области насыщения на кривой функции  $w = f[\text{Ок}]_0$  в присутствии MoB и ее отсутствие для Mo<sub>2</sub>B [7].

Если предложенная в работе [7] кинетическая модель реакции верна, то селективность образования эпоксида ( $S, \%$ ) должна изменяться с изменением степени активации катализатора ( $\alpha$ ) согласно уравнению

$$S = \frac{k_{\text{ЭФ(а)}}^{\circ} \alpha + k_{\text{ЭФ(н)}}^{\circ} (1 - \alpha)}{k_{\text{ЭФ(н)}}^{\circ} + (k_{\text{ЭФ(а)}}^{\circ} - k_{\text{ЭФ(н)}}^{\circ}) \alpha} \cdot 100, \quad (1)$$

где  $k_{\text{ЭФ(а)}}^{\circ}$  — эффективная константа скорости реакции образования эпоксида на активированном катализаторе,  $\text{с}^{-1}$ ;  $k_{\text{ЭФ(н)}}^{\circ}$  — эффективная константа скорости реакции образования эпоксида на неактивированном катализаторе,  $\text{с}^{-1}$ ;  $k_{\text{ЭФ(а)}}^{\circ}$  — эффективная константа скорости расходования гидропероксида с участием активированной формы катализатора,  $\text{с}^{-1}$ ;  $k_{\text{ЭФ(н)}}^{\circ}$  — эффективная константа скорости расходования гидропероксида с участием неактивирован-

ной формы катализатора,  $\text{с}^{-1}$ . Значения эффективных констант скоростей представлены в табл. 3.

Учитывая, что степень активации катализатора ( $\alpha$ ) описывается топокинетическим уравнением  $\alpha = 1 - e^{-k_{\tau} \tau^n}$ , время, необходимое для достижения определенного значения  $\alpha$ , если известны топокинетические константы  $n$  и  $k_{\tau}$ , можно рассчитать из соотношения

$$\tau = (-k_{\tau}^{-1} \ln (1 - \alpha))^{1/n}. \quad (2)$$

С использованием значений эффективных ( $k_{\text{ЭФ}}$ ) и топохимических констант ( $n$  и  $k_{\tau}$ ) реакций для Mo<sub>2</sub>B и MoB [7] рассчитаны значения дифференциальной селективности образования эпоксида ( $S$ ) при определенных значениях  $\alpha$ , а также время ( $\tau$ ), необходимое для достижения этих значений  $\alpha$  (табл. 4). Согласно этим данным одинаковая степень активации в случае Mo<sub>2</sub>B по сравнению с MoB достигается за время, почти вдвое большее, однако селективность образования эпоксида в присутствии катализатора на основе Mo<sub>2</sub>B несколько выше.

Селективность образования эпоксида в обоих случаях зависит от степени активации борида молибдена. Катализатор на основе Mo<sub>2</sub>B более селективен по сравнению с катализатором на основе MoB. Однако в обоих случаях  $S \rightarrow 0$ , если  $\alpha \rightarrow 0$ . Образование незначительного количества эпоксида на исходном образце Mo<sub>2</sub>B, возможно, вызвано частичным окислением его поверхности кислородом воздуха во

Таблица 3

**Значения эффективных констант скоростей реакции эпоксидирования октена-1 в присутствии  $\text{Mo}_2\text{B}$  и  $\text{MoB}$  [15] ( $[\text{Кат}]_0 = 1 \text{ г/л}$ ,  $T = 360 \text{ K}$ )**

Катализатор		$k_{\text{р}}^{\text{р}}, \text{с}^{-1}$	$k_{\text{р}}^{\text{э}}, \text{с}^{-1}$
$\text{Mo}_2\text{B}$	[ГПТБ] <sub>0</sub> = 0,5 моль/л, $[\text{Ок}]_0 = 2,5 \text{ моль/л}$		
	неактив.	$1,6 \cdot 10^{-4}$	$5,0 \cdot 10^{-7}$
$\text{MoB}$	[ГПТБ] <sub>0</sub> = 0,53 моль/л, $[\text{Ок}]_0 = 2,55 \text{ моль/л}$		
	неактив.	$3,5 \cdot 10^{-4}$	0
	актив.	$10,7 \cdot 10^{-4}$	$9,72 \cdot 10^{-4}$

Таблица 4

**Расчетные значения селективности образования эпоксида ( $S$ ) для заданных значений степени активации катализатора ( $\alpha$ ) и времени ( $\tau$ ), необходимое для активации  $\text{Mo}_2\text{B}$  и  $\text{MoB}$  ( $[\text{Кат}]_0 = 1 \text{ г/л}$ ,  $T = 360 \text{ K}$ )**

$\alpha$	$\text{Mo}_2\text{B}$ ([ГПТБ] <sub>0</sub> = 0,5 моль/л, $[\text{Ок}]_0 = 2,5 \text{ моль/л})$		$\text{MoB}$ ([ГПТБ] <sub>0</sub> = 0,53 моль/л, $[\text{Ок}]_0 = 2,55 \text{ моль/л})$	
	$S, \%$	$\tau, \text{с}$	$S, \%$	$\tau$
0	0,3	0	0	0
0,05	26,7	310	12,6	84
0,1	43,2	440	23,0	170
0,2	62,5	540	39,3	230
0,5	84,8	740	68,4	350
0,7	91,2	860	80,1	430
0,9	95,1	1020	87,6	540

время синтеза борида или в период его хранения. Об этом свидетельствует наличие небольшого пика кислорода на спектре ЭДС исходного образца катализатора (рис. 2, а).

Таким образом, полученные данные рентгенофазового анализа и рентгеновского микроанализа боридов молибдена в совокупности с данными по кинетике расходования ТБГП и образования эпоксида свидетельствуют о том, что гетерогенные соединения  $\text{Mo}_2\text{B}$  и  $\text{MoB}$  нельзя считать катализаторами реакции эпоксидирования октена-1 *трет*-бутилгидропероксидом. Катализаторами этой реакции являются кислородсодержащие соединения, образующиеся на поверхности твердой фазы в процессе эпоксидирования при взаимодействии соответствующего борида с окислителем — *трет*-бутилгидропероксидом.

На это указывает как образование новой кислородсодержащей фазы на поверхности боридов, так

и увеличение скорости расходования ТБГП во времени [6] и главным образом увеличение селективности образования эпоксида практически от нуля (в начале реакции) до >90 % при достижении максимальной степени активации борида и ее практически постоянное значение до окончания реакции. Это дает возможность многократно использовать предварительно активированные бориды при эпоксидировании олефинов гидропероксидом в жидкой фазе без снижения селективности их образования по ТБГП. Об этом свидетельствуют результаты четырехкратного использования  $\text{Mo}_2\text{B}$  в реакции эпоксидирования октена-1 *трет*-бутилгидропероксидом, согласно которым активность катализатора остается практически без изменений и селективность образования эпоксида >90 %.

### Литература

1. Трач Ю. Б., Комаренская З. М., Никипанчук М. В. и др. // Теорет. и эксперим. химия. — 2001. — 37, № 2. — С. 78—83. — [Theor. Exp. Chem. — 2001. — 37, N 2. — P. 80—83 (Engl. Transl.)].
2. Трач Ю. Б., Макома О. І., Пиріз І. Ю. // Вісн. ДУ Львів. політехніка. Хімія, технологія речовин і їх застосування. — 2001. — № 426. — С. 97.
3. Трач Ю. Б., Макома О. І. // Нефтехимия. — 2004. — 44, № 1. — С. 52.
4. Трач Ю. Б., Черний М. О. // Укр. хим. журн. — 2003. — 69, № 12. — С. 112.
5. Трач Ю. Б., Макома О. І. // Теорет. и эксперим. химия. — 2002. — 38, № 4. — С. 245—248. — [Theor. Exp. Chem. — 2002. — 38, N 4. — P. 250—254 (Engl. Transl.)].
6. Трач Ю. Б., Никипанчук М. В., Комаренская З. М. // Кинетика и катализ. — 2004. — 45, № 4. — С. 536.
7. Никипанчук М. В., Комаренская З. М., Черний М. О. // Кинетика и катализ. — 2014. — 55, № 2. — С. 221.
8. Никипанчук М. В., Черний М. О., Комаренская З. М. // Кинетика и катализ. — 2016. — 57, № 3. — С. 368.
9. Антоновский В. Л. Органические перекисные инициаторы. — М. : Химия, 1972.
10. Кузьма Ю. Б., Чабан Н. Ф. Двойные и тройные системы, содержащие бор. — М. : Металлургия, 1990.
11. Елиманова Г. Г., Смолин Р. А., Батыришин Н. Н., Харлампиди Х. Э. // Тез. докл. Междунар. конф. «Передовые технологии и перспективы развития ОАО «Казаньоргсинтез», 24 июля 2008 г. — Казань, 2008. — С. 25.
12. Талзи Е. П. // Соросовский образовательный журнал. — 2000. — 6, № 7. — С. 35.
13. Юданов И. В. // Журн. структур. химии. — 2007. — 48, № 7. — С. 117.
14. Протацук В. А. Новые закономерности в топохимии. — М. : Знание, 1974.

Поступила в редакцию 4 сентября 2018 г.  
В окончательном варианте 25 октября 2018 г.

## **Вплив фазового складу бориду молібдену на його каталітичні властивості в процесі епоксидування октену-1 *тремт-бутилгідропероксидом***

***M. В. Никипанчук<sup>1</sup>, З. М. Комаренська<sup>1</sup>, М. О. Жукровська<sup>2</sup>***

<sup>1</sup> Національний університет «Львівська політехніка»

вул. С. Бандери, 12, Львів 79013, Україна. E-mail: zkomaren@gmail.com

<sup>2</sup> Львівський інститут медсестринства і лабораторної медицини ім. Андрія Крупинського  
вул. Дорошенка, 70, Львів 79013, Україна

*Показано, що перебіг реакції епоксидування октену-1 *тремт-бутилгідропероксидом* у присутності Mo<sub>2</sub>B супроводжується утворенням на його поверхні аморфної кисеньвмісної фази. Встановлено, що саме фаза, що утворилася, катализує реакцію, визначає її швидкість і селективність.*

**Ключові слова:** борид молібдену, катализатор, активація, епоксидування, октен-1, *тремт-бутилгідропероксид*.

## **Effect of the Phase Composition of Molybdenum Boride on Its Catalytic Properties in the Process of Epoxidation of Octene-1 by *tert*-Butyl Hydroperoxide**

***M. V. Nykypanchuk<sup>1</sup>, Z. M. Komarenskaya<sup>1</sup>, M. O. Zhukrovskaya<sup>2</sup>***

<sup>1</sup> National University «Lviv Polytechnic»

S. Bandery St., 12, Lviv 79013, Ukraine. E-mail: zkomaren@gmail.com

<sup>2</sup> Lviv Institute of Nursing and Laboratory Medicine by Andrei Krupinsky  
Doroshenka St., 70, Lviv 79013, Ukraine

*It was shown that the course of epoxidation of octene-1 by *tert*-butyl hydroperoxide in the presence of Mo<sub>2</sub>B is accompanied by the formation of an amorphous oxygen-containing phase on its surface. It is established that it is the formed phase that catalyzes the reaction, determines its speed and selectivity.*

**Key words:** molybdenum boride, catalyst, activation, epoxidation, octene-1, *tert*-butyl hydroperoxide.